

# МАТЕМАТИЧЕСКОЕ МОДЕЛИРОВАНИЕ ПРОЦЕССОВ ТРАНСМУТАЦИОННОГО ИЗМЕНЕНИЯ СОСТАВА И КОНЦЕНТРАЦИИ ПРИМЕСЕЙ В СТАЛИ 15Х2НМФА

Н.В. Камышанченко, И.М. Неклюдов, Л.С. Ожигов,  
А.Г. Руденко, Б.А. Шиляев

Одной из причин потери пластичности стали 15Х2НМФА корпуса давления реактора ВВЭР-1000 являются выделения примесных элементов (в основном, подразмерных) на границах зерен. Возрастающее охрупчивающее действие фосфора при облучении стали в процессе его радиационно-ускоренной сегрегации на внутренних поверхностях раздела (в том числе на большеугловых границах зерен) приводит к снижению поверхностной энергии, ослаблению межзеренной когезии и облегчению зарождения и распространения трещин [1,2].

Процесс радиационной эволюции микроструктуры стали, наряду с прочими радиационными явлениями, определяется исходным составом, концентрацией примесей и их изменениями в процессах ядерных реакций трансмутации, инициируемых нейтронами. Радиационный захват тепловых и замедляющихся нейtronов является основной ядерной реакцией в активной зоне реакторов ВВЭР, приводящей к трансмутационному изменению элементного состава стали, т.к. сечения пороговых ядерных реакций быстрых нейtronов ниже более чем в 100 раз. Энергетический спектр нейtronов реактора ВВЭР-1000 в различных точках расположения внутрикорпусных конструкций различен. Эти различия относятся, в основном, к соотношению плотности потоков тепловых и замедляющихся нейtronов, определяющих жесткость энергетического спектра. Плотность потока замедляющихся нейtronов на внутренней поверхности корпуса реактора в области центральной обечайки превышает плотность потока тепловых нейtronов более чем в 5 раз [3].

Динамика выгорания исходных элементов и генерации новых, ранее отсутствовавших в исходном составе стали, в стационарном потоке тепловых и замедляющихся нейtronов описывается системой связанных дифференциальных уравнений последовательного превращения изотопов

$$dN_i/dt = \Lambda_{i-1} N_{i-1} - \Lambda_i N_i,$$

где  $i = 1, 2, 3 \dots$  – порядковый номер элемента в схеме радиационных последовательных превращений,  $N_i$  – количество атомов  $i$ -го изотопа или элемента, образуемого при последовательном взаимном радиационном превращении исходного изотопа в ядерных реакциях трансмутации или при естественном радиоактивном распаде;  $t$  – время облучения. Количество образованных стабильных или радиоактивных ядер определяется из соотношения, являющегося точным решением системы дифференциальных уравнений

$$N_n(t)/N_0 = \prod \Lambda_j \cdot \sum G_i \exp(-\Delta_i t),$$
$$G_i = \prod (\Lambda_j - \Lambda_i)^{-1}, (j \neq i).$$

В этом выражении  $N_i(t)$  - количество ядер изотопа с порядковым номером  $i=n$  в схеме радиационных превращений, образуемых за время облучения "t"; " $N_0$ " - количество ядер исходного облучаемого элемента, входящего в состав материала;  $\Lambda$ ; - постоянная скорости ядерной реакции или естественного радиоактивного распада, приводящих к образованию  $i$ -го элемента схемы во всех возможных радиационных превращениях. Постоянная скорости естественного радиоактивного распада

$$\lambda = \ln 2 / T_{1/2}, \text{ с}^{-1}$$

где  $T_{1/2}$  - период полураспада образованного радиоактивного изотопа. Постоянная скорости превращения изотопа в ядерной реакции

$$\lambda = \sigma \Phi, \text{с}^{-1}$$

где  $\sigma$  - микроскопическое сечение ядерной реакции,  $\Phi$  - плотность потока нейtronов, инициирующих эту реакцию. В случае образования радиоактивного изотопа скорость его исчезновения

$$\lambda = \sigma \Phi + \ln 2 / T_{1/2}$$

При облучении материала сложного состава нейtronами реактора ВВЭР-1000 учитываются все входящие в него элементы и их изотопный состав, т.к. ядерные реакции на изотопах при длительном облучении на этапах развития процесса последовательных взаимных радиационных превращений образуют различные ядра-продукты.

Подразмерные атомы примесей Mg, Al, Si, P, S составляют единую схему последовательных и взаимных радиационных превращений в условиях облучения нейtronами энергетического спектра реактора ВВЭР-1000 (рис.1). Анализ этой схемы позволяет сделать заключение о последовательном превращении Mg в Al, Al в Si, Si в P, P в S, S в хлор и аргон. Наиболее интересен уровень равновесной концентрации атомов примеси с учетом их генерации и выгорания. Эта равновесная концентрация будет зависеть от соотношения скоростей реакций трансмутации – генерации и выгорания – и зависит от величины их сечений, а также от исходной концентрации материнского элемента, являющегося источником возникновения элемента-трансмутанта. Например, в цепи превращений Si в P концентрация материнского элемента составляет 0,17... 0,37 вес. % в стали 15Х2НМФА, в то время как концентрация фосфора ограничена пределом 0,025 вес. %. В результате расчетов обнаружено, что генерация фосфора из кремния превышает в 100 раз выгорание исходного фосфора и концентрация фосфора в стали 15Х2НМФА в процессе эксплуатации реактора возрастает со скоростью 0,20... 0,90 appm/год. Выгорающий фосфор в реакции ( $n, \gamma$ ) и последующем естественном  $\beta$ -распаде его изотопа  $^{32}\text{P}$  ( $T_{1/2} = 14,29$  сут) преобразуется в серу со скоростью  $\sim 2 \cdot 10^{-4}$  appm/год, которая в  $\approx 30$  раз выше скорости выгорания исходной серы, что приводит к медленному возрастанию концентрации серы в стали. Трансмутационное превращение изотопов серы в реакциях ( $n, \gamma$ ) приводит к образованию хлора ( $4 \cdot 10^{-6}$  appm/год) и аргона.

Пороговые ядерные реакции ( $n, p$ ) и ( $n, \alpha$ ), инициируемые быстрыми нейtronами, практически не вносят изменений в элементный состав облучаемых материалов. Реакция ( $n, p$ ) является непрерывным генератором

Рис. 1. Схема радиационных превращений изотопов примесей, входящих в состав сталей, в ядерных реакциях трансмутации в потоке нейтронов реактора ВВЭР - 1000.

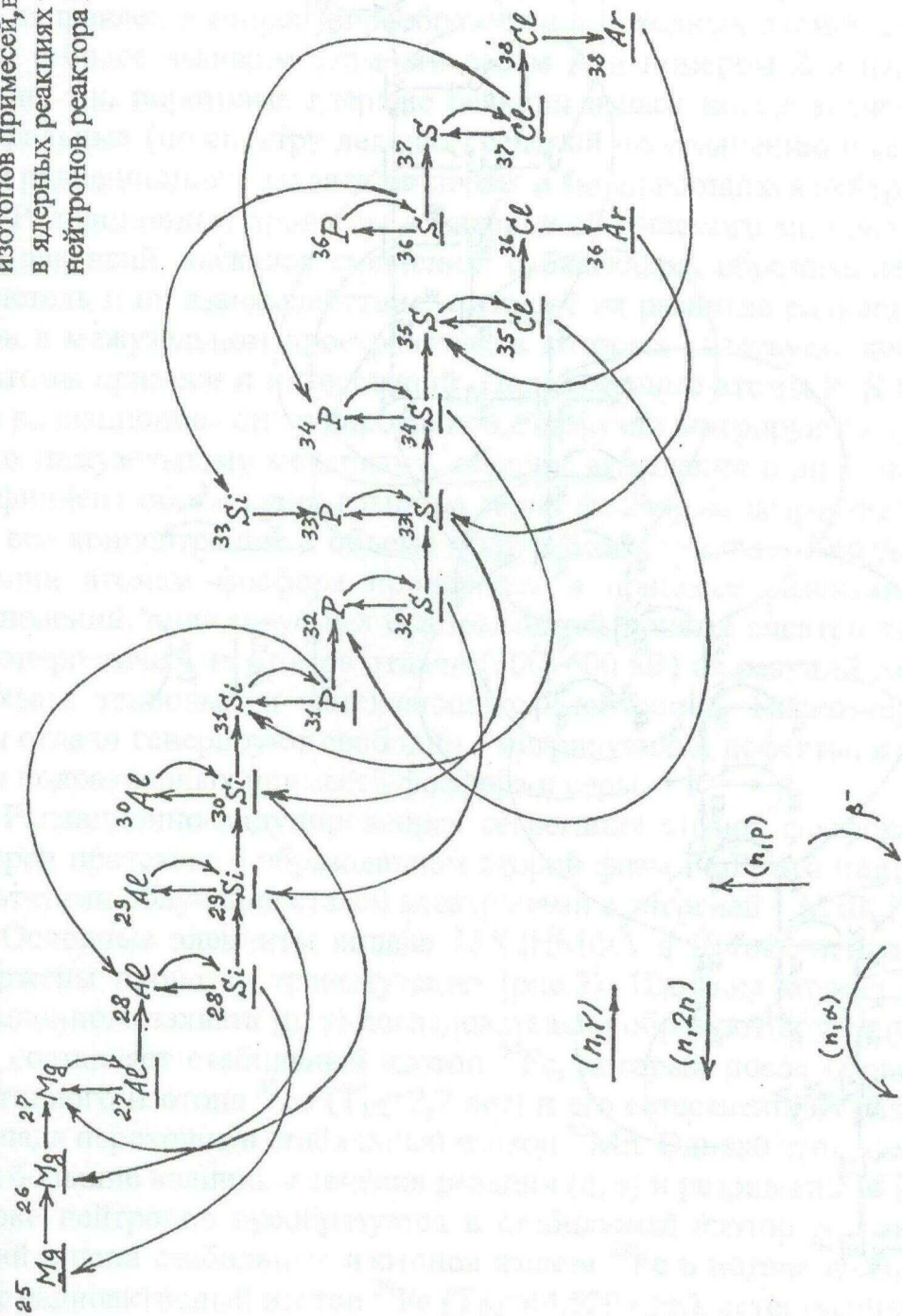
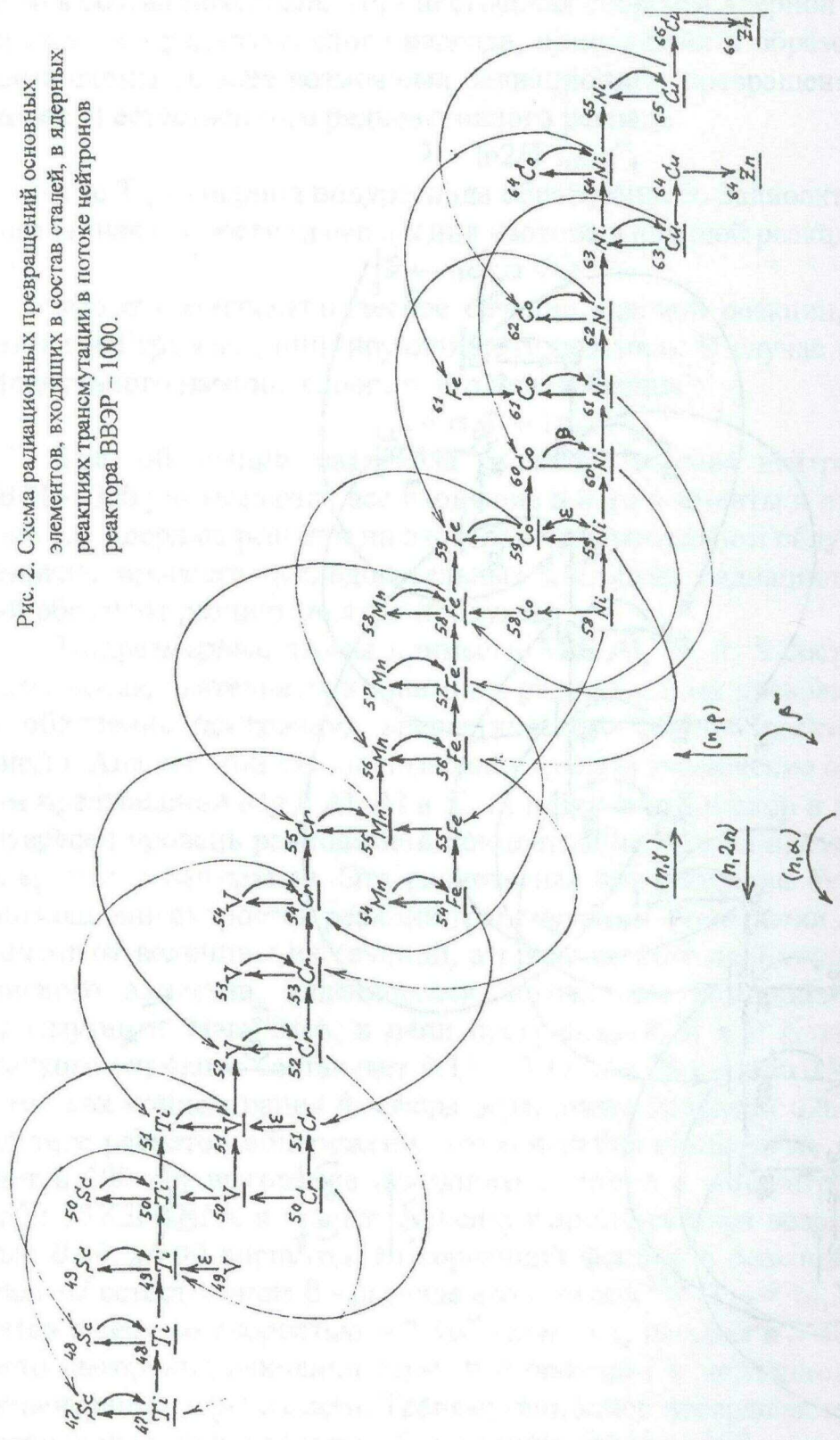


Рис. 2. Схема радиационных превращений основных элементов, входящих в состав сталей, в ядерных реакциях трансмутации в потоке нейтронов реактора ВВЭР - 1000.



трансмутационного водорода в стали и приводит к образованию коротковивущих элементов, естественный радиоактивный состав которых приводит к материнскому элементу. Реакция ( $n, \alpha$ ) представляет интерес как генератор трансмутационного гелия в эксплуатируемом материале. Генерация гелия из примесей Si, P и S составляет  $\approx 7\%$  его количества, генерированного всеми элементами стали, причем  $\approx 75\%$  этой величины образует примесь серы.

Несмотря на существование пороговых ядерных реакций ( $n, p$ ), ( $n, \alpha$ ) и ( $n, 2n$ ), которые приводят к образованию более легких элементов с порядковым номером ( $z-1$ ) и ( $z-2$ ), процесс радиационного превращения необратимо направлен в сторону преобразования исходных элементов примеси в атомы с более высоким атомным весом  $A$  и номером  $Z$  в периодической системе, т.к. пороговые ядерные реакции имеют малые значения величин интегральных (по спектру деления) сечений по сравнению с сечениями реакций радиационного захвата тепловых и замедляющихся нейтронов.

Радиационные процессы в матрице облучаемого материала – образование вакансий, каскадов смещений, субкаскадов, образование вакансационных петель и их взаимодействие – влияют на развитие радиационных процессов в межузельном пространстве, в которых участвуют дислоцированные атомы примеси и интерстиций. Подразмерные атомы P, S и т.п. в процессе радиационно-стимулированной диффузии мигрируют к границам зерен по межузельному механизму, образуя выделения в виде монослоя [4]. Коэффициент обогащения границы зерна фосфором возрастает с увеличением его концентрации в объеме облучаемого металла. Передача энергии миграции атомам фосфора происходит в процессе развития каскадных столкновений, инициируемых быстрыми нейтронами спектра деления, и от низкоэнергетических атомов отдачи (300÷600 эВ) из реакций радиационного захвата тепловых и замедляющихся нейтронов. Низкоэнергетические атомы отдачи генерируют свободно-мигрирующие дефекты, в том числе и атомы подразмерных примесей фосфора и серы.

Радиационно-индукционная сегрегация атомов фосфора на границах зерен протекает с образованием второй фазы  $Fe_2P$ , что подтверждается результатами облучения сталей электронами с энергией 1 МэВ[5].

Основные элементы сплава 15Х2НМФА в потоке нейтронов также подвержены процессу трансмутации (рис.2). Изотопы железа в реакциях радиационного захвата ( $n, \gamma$ ) последовательно образуют друг друга. Исключение составляет стабильный изотоп  $^{54}Fe$ , который после образования радиоактивного изотопа  $^{55}Fe$  ( $T_{1/2}=2,7$  лет) и его естественного радиоактивного распада переходит в стабильный изотоп  $^{55}Mn$ . Однако этот элемент имеет самые большие величины сечения реакции ( $n, \gamma$ ) и резонансного интеграла и в потоке нейтронов преобразуется в стабильный изотоп железа  $^{56}Fe$ . Последний в цепи стабильных изотопов железа  $^{58}Fe$  в потоке нейтронов генерирует радиоактивный изотоп  $^{59}Fe$  ( $T_{1/2}=44,529$  сут.), естественный  $\beta$ -распад которого приводит к образованию изотопов кобальта  $^{59,60}Co$ .

Изотопы никеля в ядерных реакциях трансмутации образуют ста-

бильные изотопы кобальта и меди. Скорость образования меди из никеля  $(1,6 \div 2,5) \cdot 10^{-3}$  арм/год, примесь меди превращается в изотопы цинка со скоростью  $2 \cdot 10^{-2}$  арм/год. В табл. 1 и 2 приведены результаты расчета динамики выгорания исходного количества Mn и V, входящих в состав стали 15Х2НМФА для различных радиационных условий. Табл 1 содержит результаты, относящиеся к внутренней поверхности корпуса реактора ВВЭР-1000. Результаты свидетельствуют, что убыль исходного марганца практически восполняется его генерацией из изотопа железа  $^{54}\text{Fe}$ . Уровень генерации марганца из  $^{54}\text{Cr}$  примерно в 100-500 раз ниже, чем из изотопа железа  $^{54}\text{Fe}$ . Здесь же для сравнения приведены уровни генерации марганца, моноизотопного железа и хрома.

Выгорание ванадия полностью компенсируется его генерацией из изотопа хрома  $^{50}\text{Cr}$ , а после 10-15 лет эксплуатации концентрация ванадия в стали будет возрастать т.к. скорость генерации ванадия будет превышать скорость его выгорания с превращением в стабильный изотоп хрома  $^{52}\text{Cr}$ .

Таблица

**Динамика изменения концентрации марганца и ванадия в стали 15Х2НМФА корпуса реактора ВВЭР-1000 в процессе эксплуатации (вес. %)**

	Срок эксплуатации, лет		
	1	5	20
Убыль исходного Mn (0,3÷0,6) вес %	$(4,9 \div 9,8) \cdot 10^{-5}$	$(2,5 \div 4,9) \cdot 10^{-4}$	$9,8 \cdot 10^{-4} \div 2,0 \cdot 10^{-3}$
Генерация Mn из $^{54}\text{Fe}$	$1,03 \cdot 10^{-5}$	$1,9 \cdot 10^{-4}$	$1,4 \cdot 10^{-3}$
Генерация Mn из $^{54}\text{Cr}$	$1,8 \cdot 10^{-7}$	$8,7 \cdot 10^{-7}$	$3,1 \cdot 10^{-6}$
Если железо на 100% состоит из изотопа $^{54}\text{Fe}$	$1,81 \cdot 10^{-4}$	$3,3 \cdot 10^{-3}$	$2,4 \cdot 10^{-2}$
Если хром на 100% состоит из изотопа $^{54}\text{Cr}$	$7,0 \cdot 10^{-6}$	$3,5 \cdot 10^{-5}$	$1,2 \cdot 10^{-4}$
Убыль исходного V	$1,2 \cdot 10^{-5}$	$1,8 \cdot 10^{-4}$	$7,0 \cdot 10^{-4}$
Генерация ванадия из $^{50}\text{Cr}$	$1,1 \cdot 10^{-5}$	$6,0 \cdot 10^{-5}$	$1,5 \cdot 10^{-5}$
Если хром на 100% состоит из изотопа $^{50}\text{Cr}$	$2,6 \cdot 10^{-4}$	$1,6 \cdot 10^{-3}$	$4,0 \cdot 10^{-2}$

В табл. 2 приведены аналогичные результаты для стали 15Х2НМФА, расположенной вблизи активной зоны в месте расположения опорной плиты активной зоны. В этих условиях на 5-й год эксплуатации  $\approx 30\%$  исходного Mn выгорает, но уровень его генерации из изотопа  $^{54}\text{Fe}$  значительно превосходит его убыль. Выгорание V полностью компенсируется его генерацией из изотопа хрома  $^{50}\text{Cr}$ . Самым важным является то, что генерация Mn из железа с учетом его выгорания составляет 64-69% от того количества

ва, которое заложено в исходный состав стали (это равновесная концентрация генерированного Mn с учетом его выгорания).

Уровень генерации ванадия с учетом его выгорания составляет  $\sim 1,4\%$  исходного количества через 1 год эксплуатации и  $6,7\%$  – на 5-й год эксплуатации. Это свидетельствует о возможности радиационного конструирования состава сталей в радиационных условиях эксплуатации.

Таблица 2

**Динамика изменения концентрации марганца и ванадия в стали 15Х2НМФА  
в нижней части активной зоны (вес.%)**

	Срок эксплуатации, лет	
	1	5
Убыль исходного Mn (03 $\div$ 0,6) вес %	0,02 $\div$ 0,04	0,09 $\div$ 0,18
Генерация Mn из $^{54}\text{Fe}$	0,19	0,21
Генерация Mn из $^{53}\text{Cr}$ , $^{54}\text{Cr}$	$7,0 \cdot 10^{-5}$	$1,6 \cdot 10^{-3}$
Убыль исходного V (035 вес %)	$5,1 \cdot 10^{-3}$	$2,5 \cdot 10^{-2}$
Генерация ванадия из $^{50}\text{Cr}$	$4,8 \cdot 10^{-3}$	$23 \cdot 10^{-2}$

### Выводы

- Методом математического моделирования проведен анализ динамики изменения элементного состава стали 15Х2НМФА корпуса реактора ВВЭР-1000 с учетом соотношения плотности потоков тепловых и замедляющихся нейтронов в различных точках по отношению к активной зоне.

- Тепловые и замедляющиеся нейтроны энергетического спектра реактора ВВЭР - 1000 в значительной степени определяют эволюцию микроструктуры материала корпуса основных элементов внутрикорпусных устройств. Скорость генерации свободно - мигрирующих дефектов тепловыми и замедляющимися нейtronами равна или превышает аналогичную величину для быстрых нейтронов на внутренней поверхности корпуса реактора ВВЭР - 1000.

- Равновесная концентрация фосфора и серы в стали 15Х2НМФА корпуса реактора ВВЭР - 1000 возрастает в процессе эксплуатации, что увеличивает коэффициент обогащения этими примесями границ зерен материала.

- На уровень генерации трансмутационного гелия оказывают значительное влияние подразмерные примеси Si, P, S. Особенно велик вклад серы в полную генерацию гелия в металле.

- Основные элементы стали и элементы подразмерных примесей в потоке тепловых и замедляющихся нейтронов образуют схему последователь-

ных взаимосвязанных радиационных превращений в ядерных реакциях трансмутации и в естественных радиоактивных распадах. Процесс радиационной трансмутации направлен в сторону образования более тяжелых изотопов и элементов.

## ЛИТЕРАТУРА

1. Алексеенко Н.Н., Амаев А.Д., Горынин Н.В. Николаев В.А., Радиационное повреждение стали корпусов водо-водяных ректоров. - М.: Энергоиздат, 1981.-132с.
2. Амаев А.Д., Астафьев А.А., Карк Г.С., Крюков А.М., Маркова С.И. и др. Атомная энергия. - Т. 60. Вып.5, 1986. - С. 321-324
3. Jinchuk D., Asta E.P., Present status of sub-critical cracks investigation applied to safety analysis in Argentina NPP. - Proc. of the Third International Atomic Energy Agency Specialists, Meeting on Subcritical Crack Growth, NHREC/CP -0112. ANL-90/92. vol.2, p. 183- 189.
4. Miller M.K.. Jaram R., Russel K.F., Characterization of phosphorus segregation in neutron- irradiated Russian pressure vessel weld. — J. Nucl. Mater., 225(1995)., p. 215-224.
5. Nokata K. and Masaoka I., Salute segregation along non-migrated and migrated grain boundaries during electron in austenitic stainless steels. - J. Nucl. Mater., 150(1987), p. 186-193.